



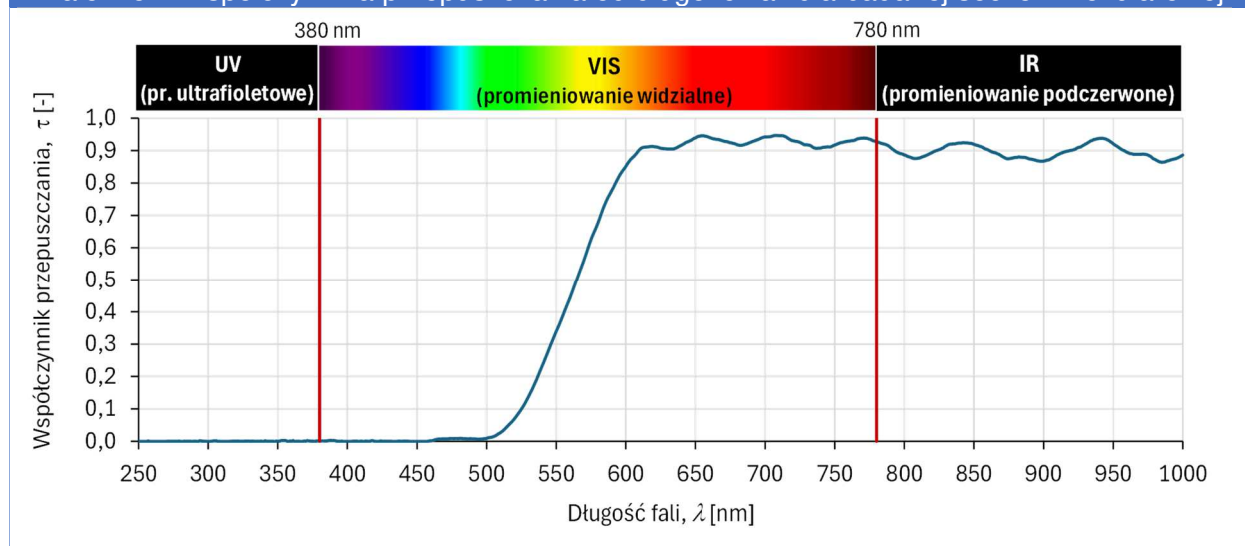
PROTOKÓŁ Z BADANIA

Dane identyfikacyjne	
Zlecniodawca:	Twoje Oczy sp. z o.o. ul. Lawendowa 20; 38-200 Jasło
Przedmiot badań:	Pomarańczowa soczewka okularowa wykonana z tworzywa CR-39
Zakres badań:	Współczynnik przepuszczania w zakresie od 300 nm do 1000 nm
Data wykonania badań:	24.04.2026 r.
Wykonawca pomiarów:	Przemysław Tabaka (przemyslaw.tabaka@p.lodz.pl)

Zdjęcie badanego obiektu – pomarańczowa soczewka okularowa



Zależność współczynnika przepuszczania od długości fali dla badanej soczewki okularowej





PROTOKÓŁ Z BADANIA

Wartości współczynnika przepuszczania τ w funkcji długości fali λ - część 1 z 5

λ [nm]	τ [-]
250	0,000
251	0,000
252	0,000
253	0,000
254	0,000
255	0,000
256	0,000
257	0,000
258	0,000
259	0,000
260	0,000
261	0,000
262	0,000
263	0,000
264	0,000
265	0,000
266	0,000
267	0,000
268	0,000
269	0,000
270	0,000
271	0,000
272	0,000
273	0,000
274	0,000
275	0,000
276	0,000
277	0,000
278	0,000
279	0,000
280	0,000
281	0,000
282	0,000
283	0,000
284	0,000
285	0,000
286	0,000
287	0,000
288	0,000
289	0,000
290	0,000

λ [nm]	τ [-]
291	0,000
292	0,000
293	0,000
294	0,001
295	0,000
296	0,000
297	0,000
298	0,000
299	0,000
300	0,000
301	0,000
302	0,000
303	0,000
304	0,000
305	0,000
306	0,000
307	0,000
308	0,000
309	0,000
310	0,000
311	0,000
312	0,000
313	0,000
314	0,000
315	0,000
316	0,000
317	0,000
318	0,001
319	0,001
320	0,001
321	0,001
322	0,001
323	0,000
324	0,000
325	0,000
326	0,001
327	0,001
328	0,001
329	0,001
330	0,000
331	0,001

λ [nm]	τ [-]
332	0,001
333	0,000
334	0,000
335	0,000
336	0,000
337	0,000
338	0,001
339	0,000
340	0,000
341	0,001
342	0,000
343	0,000
344	0,000
345	0,001
346	0,001
347	0,000
348	0,000
349	0,001
350	0,000
351	0,001
352	0,002
353	0,003
354	0,003
355	0,003
356	0,002
357	0,000
358	0,000
359	0,002
360	0,000
361	0,003
362	0,000
363	0,000
364	0,000
365	0,000
366	0,000
367	0,000
368	0,000
369	0,001
370	0,000
371	0,002
372	0,002

λ [nm]	τ [-]
373	0,001
374	0,001
375	0,001
376	0,000
377	0,001
378	0,001
379	0,002
380	0,002
381	0,001
382	0,002
383	0,002
384	0,002
385	0,001
386	0,002
387	0,003
388	0,003
389	0,003
390	0,003
391	0,002
392	0,001
393	0,000
394	0,000
395	0,000
396	0,001
397	0,000
398	0,000
399	0,000
400	0,000
401	0,000
402	0,000
403	0,000
404	0,001
405	0,001
406	0,001
407	0,001
408	0,000
409	0,000
410	0,001
411	0,000
412	0,000
413	0,001





PROTOKÓŁ Z BADANIA

Wartości współczynnika przepuszczania τ w funkcji długości fali λ - część 2 z 5

λ [nm]	τ [-]
414	0,001
415	0,001
416	0,000
417	0,002
418	0,002
419	0,001
420	0,000
421	0,000
422	0,000
423	0,000
424	0,002
425	0,000
426	0,000
427	0,001
428	0,001
429	0,001
430	0,000
431	0,001
432	0,000
433	0,000
434	0,000
435	0,000
436	0,000
437	0,001
438	0,001
439	0,000
440	0,001
441	0,001
442	0,001
443	0,001
444	0,000
445	0,000
446	0,000
447	0,000
448	0,000
449	0,000
450	0,000
451	0,000
452	0,000
453	0,000
454	0,000

λ [nm]	τ [-]
455	0,000
456	0,000
457	0,000
458	0,001
459	0,002
460	0,002
461	0,002
462	0,004
463	0,005
464	0,006
465	0,007
466	0,008
467	0,008
468	0,008
469	0,008
470	0,008
471	0,008
472	0,008
473	0,009
474	0,009
475	0,009
476	0,009
477	0,009
478	0,009
479	0,009
480	0,009
481	0,009
482	0,009
483	0,009
484	0,009
485	0,008
486	0,008
487	0,008
488	0,008
489	0,008
490	0,008
491	0,008
492	0,008
493	0,007
494	0,007
495	0,007

λ [nm]	τ [-]
496	0,007
497	0,008
498	0,008
499	0,009
500	0,009
501	0,011
502	0,012
503	0,012
504	0,013
505	0,015
506	0,017
507	0,019
508	0,022
509	0,025
510	0,027
511	0,030
512	0,034
513	0,038
514	0,042
515	0,047
516	0,051
517	0,056
518	0,060
519	0,065
520	0,070
521	0,075
522	0,081
523	0,087
524	0,093
525	0,100
526	0,106
527	0,113
528	0,121
529	0,129
530	0,137
531	0,146
532	0,155
533	0,163
534	0,173
535	0,182
536	0,192

λ [nm]	τ [-]
537	0,202
538	0,213
539	0,223
540	0,234
541	0,244
542	0,255
543	0,265
544	0,276
545	0,287
546	0,298
547	0,308
548	0,319
549	0,329
550	0,339
551	0,349
552	0,359
553	0,369
554	0,380
555	0,391
556	0,402
557	0,413
558	0,423
559	0,434
560	0,445
561	0,457
562	0,468
563	0,480
564	0,492
565	0,504
566	0,516
567	0,527
568	0,539
569	0,550
570	0,562
571	0,575
572	0,587
573	0,601
574	0,613
575	0,625
576	0,636
577	0,646





PROTOKÓŁ Z BADANIA

Wartości współczynnika przepuszczania τ w funkcji długości fali λ - część 3 z 5

λ [nm]	τ [-]
578	0,656
579	0,666
580	0,677
581	0,688
582	0,701
583	0,713
584	0,724
585	0,735
586	0,744
587	0,754
588	0,761
589	0,769
590	0,778
591	0,785
592	0,794
593	0,803
594	0,811
595	0,819
596	0,827
597	0,833
598	0,839
599	0,845
600	0,851
601	0,858
602	0,864
603	0,870
604	0,875
605	0,879
606	0,883
607	0,888
608	0,893
609	0,898
610	0,903
611	0,907
612	0,909
613	0,910
614	0,911
615	0,911
616	0,912
617	0,912
618	0,913

λ [nm]	τ [-]
619	0,913
620	0,912
621	0,912
622	0,911
623	0,910
624	0,909
625	0,907
626	0,907
627	0,906
628	0,906
629	0,906
630	0,905
631	0,905
632	0,905
633	0,905
634	0,905
635	0,906
636	0,908
637	0,910
638	0,912
639	0,914
640	0,917
641	0,919
642	0,922
643	0,925
644	0,927
645	0,928
646	0,930
647	0,932
648	0,935
649	0,938
650	0,939
651	0,942
652	0,944
653	0,945
654	0,946
655	0,946
656	0,946
657	0,945
658	0,944
659	0,942

λ [nm]	τ [-]
660	0,941
661	0,939
662	0,937
663	0,936
664	0,936
665	0,935
666	0,935
667	0,934
668	0,933
669	0,931
670	0,930
671	0,928
672	0,928
673	0,927
674	0,926
675	0,925
676	0,924
677	0,923
678	0,922
679	0,920
680	0,918
681	0,917
682	0,916
683	0,916
684	0,917
685	0,918
686	0,920
687	0,921
688	0,923
689	0,925
690	0,926
691	0,928
692	0,930
693	0,931
694	0,933
695	0,934
696	0,936
697	0,938
698	0,940
699	0,941
700	0,942

λ [nm]	τ [-]
701	0,942
702	0,942
703	0,943
704	0,943
705	0,944
706	0,946
707	0,947
708	0,947
709	0,947
710	0,946
711	0,946
712	0,946
713	0,946
714	0,944
715	0,942
716	0,939
717	0,936
718	0,934
719	0,932
720	0,931
721	0,930
722	0,929
723	0,928
724	0,927
725	0,925
726	0,923
727	0,921
728	0,919
729	0,918
730	0,918
731	0,917
732	0,917
733	0,915
734	0,911
735	0,909
736	0,908
737	0,907
738	0,908
739	0,908
740	0,908
741	0,909





PROTOKÓŁ Z BADANIA

Wartości współczynnika przepuszczania τ w funkcji długości fali λ - część 4 z 5

λ [nm]	τ [-]
742	0,910
743	0,911
744	0,911
745	0,912
746	0,911
747	0,911
748	0,913
749	0,915
750	0,917
751	0,919
752	0,921
753	0,922
754	0,924
755	0,925
756	0,926
757	0,927
758	0,928
759	0,929
760	0,929
761	0,929
762	0,931
763	0,931
764	0,931
765	0,933
766	0,936
767	0,937
768	0,937
769	0,938
770	0,938
771	0,939
772	0,938
773	0,938
774	0,937
775	0,935
776	0,934
777	0,932
778	0,930
779	0,929
780	0,927
781	0,926
782	0,925

λ [nm]	τ [-]
783	0,923
784	0,922
785	0,921
786	0,920
787	0,918
788	0,916
789	0,914
790	0,910
791	0,906
792	0,903
793	0,900
794	0,897
795	0,895
796	0,893
797	0,891
798	0,890
799	0,889
800	0,886
801	0,886
802	0,883
803	0,881
804	0,880
805	0,879
806	0,877
807	0,876
808	0,876
809	0,876
810	0,877
811	0,877
812	0,879
813	0,881
814	0,882
815	0,884
816	0,886
817	0,888
818	0,890
819	0,892
820	0,894
821	0,896
822	0,898
823	0,900

λ [nm]	τ [-]
824	0,901
825	0,903
826	0,904
827	0,907
828	0,908
829	0,912
830	0,914
831	0,917
832	0,919
833	0,920
834	0,920
835	0,921
836	0,921
837	0,921
838	0,923
839	0,923
840	0,923
841	0,923
842	0,924
843	0,924
844	0,924
845	0,924
846	0,923
847	0,923
848	0,922
849	0,921
850	0,920
851	0,918
852	0,917
853	0,916
854	0,914
855	0,913
856	0,911
857	0,908
858	0,906
859	0,904
860	0,903
861	0,900
862	0,898
863	0,896
864	0,895

λ [nm]	τ [-]
865	0,893
866	0,892
867	0,890
868	0,889
869	0,886
870	0,883
871	0,880
872	0,878
873	0,876
874	0,875
875	0,875
876	0,876
877	0,876
878	0,877
879	0,879
880	0,879
881	0,879
882	0,880
883	0,880
884	0,880
885	0,879
886	0,879
887	0,879
888	0,877
889	0,876
890	0,874
891	0,874
892	0,873
893	0,872
894	0,871
895	0,869
896	0,868
897	0,868
898	0,867
899	0,867
900	0,868
901	0,868
902	0,870
903	0,871
904	0,872
905	0,874





PROTOKÓŁ Z BADANIA

Wartości współczynnika przepuszczania τ w funkcji długości fali λ - część 5 z 5

λ [nm]	τ [-]
906	0,876
907	0,879
908	0,881
909	0,885
910	0,887
911	0,889
912	0,891
913	0,892
914	0,895
915	0,896
916	0,897
917	0,898
918	0,899
919	0,900
920	0,901
921	0,902
922	0,903
923	0,905
924	0,908
925	0,910
926	0,911
927	0,912
928	0,915
929	0,917
930	0,920
931	0,922
932	0,925
933	0,927
934	0,930
935	0,931
936	0,934
937	0,935
938	0,936
939	0,937
940	0,938
941	0,938
942	0,938
943	0,937
944	0,937
945	0,935
946	0,933

λ [nm]	τ [-]
947	0,931
948	0,927
949	0,925
950	0,921
951	0,918
952	0,916
953	0,913
954	0,910
955	0,907
956	0,904
957	0,901
958	0,900
959	0,897
960	0,895
961	0,893
962	0,891
963	0,891
964	0,890
965	0,888
966	0,889
967	0,889
968	0,889
969	0,889
970	0,889
971	0,889
972	0,889
973	0,888
974	0,888
975	0,886
976	0,884
977	0,882
978	0,878
979	0,875
980	0,873
981	0,870
982	0,868
983	0,866
984	0,865
985	0,864
986	0,864
987	0,865

λ [nm]	τ [-]
988	0,866
989	0,868
990	0,869
991	0,871
992	0,872
993	0,873
994	0,874
995	0,875
996	0,877
997	0,879
998	0,881
999	0,884
1000	0,886
988	0,866
989	0,868
990	0,869
991	0,871
992	0,872
993	0,873
994	0,874
995	0,875
996	0,877
997	0,879
998	0,881
999	0,884
1000	0,886